

• 生物技术与方法 •

小蛋白质富集法鉴定酿酒酵母“漏检蛋白”

何崔同^{1,2}, 张瑶^{2,3}, 姜颖^{1,2}, 徐平^{1,2}

1 安徽医科大学, 安徽 合肥 230032

2 军事科学院军事医学研究院辐射医学研究所 蛋白质组学国家重点实验室 国家蛋白质科学中心(北京) 北京蛋白质组研究中心, 北京 102206

3 中山大学 生命科学学院, 广东 广州 510275

何崔同, 张瑶, 姜颖, 等. 小蛋白质富集法鉴定酿酒酵母“漏检蛋白”. 生物工程学报, 2018, 34(11): 1860–1869.

He CT, Zhang Y, Jiang Y, et al. Identification of missing proteins in *Saccharomyces cerevisiae* by small protein-based enrichment. Chin J Biotech, 2018, 34(11): 1860–1869.

摘要: 小蛋白质 (Small proteins, SPs) 是由小开放阅读框 (Short open reading frames, sORFs) 编码长度小于 100 个氨基酸的多肽。研究发现小蛋白质参与了基因表达调控、细胞信号转导和代谢等重要生物学过程。然而, 生命体中大多数的已注释小蛋白质尚缺少蛋白水平存在的实验证据, 被称为漏检蛋白 (Missing proteins, MPs)。小蛋白质的高效鉴定是其功能研究的前提, 也有助于挖掘“漏检蛋白”。文中采用小蛋白质富集策略鉴定到 72 个酵母小蛋白质, 验证 9 个“漏检蛋白”, 发现低分子量、高疏水性、膜结合、弱密码子使用偏性及不稳定性是蛋白漏检的主要原因, 对进一步的技术优化具有指导意义。

关键词: 蛋白质组学, 小蛋白质, 富集, 漏检蛋白

Identification of missing proteins in *Saccharomyces cerevisiae* by small protein-based enrichment

Cuitong He^{1,2}, Yao Zhang^{2,3}, Ying Jiang^{1,2}, and Ping Xu^{1,2}

1 Anhui Medical University, Hefei 230032, Anhui, China

2 Beijing Institute of Radiation Medicine, State Key Laboratory of Proteomics, National Center for Protein Sciences (Beijing), Beijing Proteome Research Center, Beijing 102206, China

3 School of Life Sciences, Sun Yat-sen University, Guangzhou 510275, Guangdong, China

Abstract: Small proteins (SPs) are defined as peptides of 100 amino acids or less encoded by short open reading frames (sORFs). SPs participate in a wide range of functions in cells, including gene regulating, cell signaling and metabolism.

Received: January 30, 2018; **Accepted:** March 12, 2018

Supported by: Chinese National Basic Research Programs (No. 2017YFC0906600), National Natural Science Foundation of China (No. 31670834), Beijing Training Project for The Leading Talents in S&T (No. Z161100004916024).

Corresponding authors: Ping Xu. Tel: +86-10-61777113; Fax: +86-10-61777050; E-mail: xupingghy@gmail.com

Ying Jiang. Tel: +86-10-80705299; Fax: +86-10-80705002; E-mail: jiangying304@hotmail.com

国家重大研发计划精准医学重大专项 (No. 2017YFC0906600), 国家自然科学基金 (No. 31670834), 北京市百名领军人才计划 (No. Z161100004916024) 资助。

However, most annotated SPs in all living organisms are currently lacking expression evidence at the protein level and regarded as missing proteins (MPs). High efficient SPs identification is the prerequisite for their functional study and contribution to MPs searching. In this study, we identified 72 SPs and successfully validated 9 MPs from *Saccharomyces cerevisiae* based on SPs enrichment strategy. In-depth analysis showed that the missing factors of MPs were low molecular weight, low abundant, hydrophobicity, lower codon usage bias and unstable. The small protein-based enrichment can be used as MPs searching strategy, which might provide the foundation for their further function research.

Keywords: proteomics, small protein, enrichment, missing protein

小蛋白质 (Small proteins, SPs) 是由小开放阅读框 (Short open reading frames, sORFs) 编码长度小于 100 个氨基酸 (Amino acid, AA) 的多肽。小蛋白质在多数生命过程中发挥着重要的作用, 如蛋白互作与酶活性调节^[1]、细胞信号转导和细胞间通讯^[2], 以及基因表达的转录后调控^[3]等。

然而, 据 UniProt 数据库所示, 目前几乎所有生命体中大多数已注释小蛋白质尚缺少蛋白水平存在的实验证据和相关功能研究, 这类蛋白质被称为漏检蛋白 (Missing proteins, MPs)。UniProt 数据库将所有已注释蛋白质存在证据 (Protein existence, PE) 分为 5 个水平, 从 PE1 (蛋白质水平实验证据) 到 PE5 (无任何证据), 其中漏检蛋白被定义为 PE2 (转录组水平的实验证据)、PE3 (依据序列同源性推断的证据) 和 PE4 (基于基因预测得到的证据)^[4]。漏检蛋白研究在 2012 年已被人类染色体蛋白质组计划 (Chromosome-centric Human Proteome Project, C-HPP) 列为主要任务之一^[5], 但在其他生命体中尚未探及。

小蛋白质的有效鉴定是功能研究的前提, 小蛋白质鉴定技术的发展不仅有助于从蛋白质水平验证漏检蛋白, 而且为进一步漏检蛋白功能研究提供了技术手段。与基于荧光蛋白^[6]和亲和富集标签^[7]的生化方法相比, 基于质谱鉴定的技术可以在蛋白质组水平高通量准确鉴定蛋白质且可以避免标签的引入对小蛋白质结构和功能的可能干扰^[8]。小蛋白质的低丰度以及复杂体系中高丰度大蛋白质的信号掩盖是造成小蛋白质质谱鉴定困

难的最直接原因^[9]。

本研究以酿酒酵母 *Saccharomyces cerevisiae* 为研究对象, 采用小蛋白质富集策略来提高小蛋白质覆盖度。最终, 我们共鉴定到 72 个小蛋白质, 并成功验证 9 个漏检蛋白 (Q02820、A5Z2X5、Q2V2P4、P38127、P40086、P40086、Q3E762、Q8TGU7、Q2V2P2)。小蛋白质和漏检蛋白特殊理化、生物学性质及其质谱鉴定规律的揭示对小蛋白质和漏检蛋白鉴定技术的进一步优化具有重要的指导意义。

1 材料与方法

1.1 材料

1.1.1 菌株

酿酒酵母 JMP024^[10]为本实验室保存。

1.1.2 主要试剂

葡萄糖 (Dextrose)、尿素 (Urea)、碳酸氢铵 (NH_4HCO_3) 均为购自国药集团化学试剂有限公司的分析纯试剂; 酵母粉 (Yeast extract)、蛋白胨 (Bacto-peptone) 均购自 OXOID 公司; 叠氮钠 (NaN_3)、二硫苏糖醇 (Dithiothreitol, DTT)、碘乙酰胺 (Iodoacetamide, IAA) 均购自 AMRESCO 公司; 2-巯基乙醇 (β -mercaptoethanol, β -ME)、聚乙二醇辛基苯基醚 (Triton X-100)、甲酸 (Formic acid, FA)、色谱级乙腈 (Acetonitrile, ACN) 均购自 Sigma-Aldrich 公司; 质谱级胰蛋白酶 (Trypsin) 为实验室自制试剂^[11-12]。

1.1.3 主要仪器

LTQ Orbitrap Velos 质谱仪为 Thermo Fisher

Scientific 公司产品；超高压纳升级高效液相色谱仪 (Ultra-high Performance Liquid Chromatography) 为 Waters 公司产品。

1.2 方法

1.2.1 细胞培养

将 JMP024 接种于 YPD 培养基 (1% 酵母粉, 2% 蛋白胨, 2% 葡萄糖) 中, 30 ℃ 振荡培养至对数中期 ($OD_{600}=1.5$), 离心并收集菌体, 0.01% 叠氮钠洗涤菌体后于 -80 ℃ 保存。

1.2.2 小蛋白质富集和蛋白质组样品制备

向上述收集的 62 OD (41.3 mL) 菌体中加入适量的裂解液 I (0.05 mol/L 盐酸, 0.1% 2-巯基乙醇, 0.05% 聚乙二醇辛基苯基醚)^[9], 玻璃珠涡旋振荡破碎 (工作 30 s, 冰浴 30 s, 10 个循环)。细胞裂解后 4 ℃、17 000 $\times g$ 离心 20 min, 收集沉淀。沉淀用裂解液 I 洗涤 3 次, 离心取沉淀。将上述沉淀重悬于适量裂解液 II (8 mol/L 尿素, 0.05 mol/L 碳酸氢铵, 0.005 mol/L 碘乙酰胺)^[13], 4 ℃、17 000 $\times g$ 离心 20 min, 收集上清。采用 Xu 灰度定量法^[14]进行蛋白质定量。取 80 μ g 蛋白于 PCR 管中, 加入 1 mol/L 二硫苏糖醇至终浓度 0.005 mol/L, 45 ℃ 温浴 30 min。加 0.5 mol/L 碘乙酰胺至终浓度 0.01 mol/L, 室温避光孵育 30 min。还原、烷基化后的蛋白样品采用 12% Tricine-SDS-PAGE 短胶分离。待样品入分离胶 3 cm 时停止电泳。再经考马斯亮蓝 G250 染色、脱色后, 将 0–3.4 kDa、3.4–5 kDa 和 5–10 kDa 的胶条分别切下, 将胶条均分为 1 mm³ 胶粒, 然后进行脱色、干燥。所得胶粒使用胰酶过夜酶解后, 抽提肽段, 蒸干后置于 -80 ℃ 保存备用。

1.2.3 LC-MS/MS 分析

消化肽段样品用毛细管 (75 μ m i.d. \times 15 cm, Beijing SpectraPeaks) 反相低 pH 分离, 毛细管填料为 C18 (100 Å, 3 μ m, Michron Bioresources InC)。分离流速为 0.3 μ L/min, 梯度设置为 2%–4%

B, 6 min; 4%–10% B, 2 min; 10%–25% B, 27 min; 25%–35% B, 20 min; 35%–80%, 5 min (流动相 A, 0.1% 甲酸和 2% 乙腈; 流动相 B, 0.1% 甲酸和 100% 乙腈)。洗脱组分经纳升级电喷雾离子源接口喷出, 进入 LTQ Orbitrap Velos 分析。质谱采用一级质谱数据依赖的二级质谱扫描模式 (Data dependent MS/MS scan) 碰撞诱导裂解 (CID) 模式碎裂一级离子。一级质谱扫描范围 (300–1 600 m/z), 分辨率设置为 30 000; 自动增益控制 (Automatic gain control, AGC) 为 10⁶。依次选取一级信号强度最高的 20 个离子进行二级碎裂分析, 碰撞归一化能量 (NCE) 为 35%; AGC 为 10⁴; 最大离子注入时间为 30 ms; 动态排除为 40 s。

1.2.4 数据库搜索与 MPs 鉴定

Maxquant (version 1.5.6.0) 对质谱产出的数据文件 (.raw) 进行蛋白质数据库搜索。数据库为从 UniProt 下载的酿酒酵母 *Saccharomyces cerevisiae* S288C 蛋白序列数据库 (Version: 201711)。搜库参数如下: 1) 胰酶特异性酶切; 2) 固定修饰为半胱氨酸的烷基化修饰 (+57.021 46 Da); 3) 可变修饰为甲硫氨酸氧化修饰 (+15.994 92 Da); 4) 母离子质量误差 20 ppm; 5) 子离子质量误差 0.5 Da; 6) 允许最大漏切位点数目为 2 个; 7) 肽段长度 ≥ 7 AA; 8) 肽段最大修饰为 2 种。搜库结果采用目标-诱饵库策略进行过滤, 并设定肽段和蛋白质鉴定 FDR 均小于 1%。MPs 的筛选标准包括以下几点: 1) 至少 1 条长度 ≥ 10 AA 的唯一肽段; 2) 谱图具有高信噪比且所有 b/y 离子基本都要能匹配上; 3) 谱图主峰被匹配; 4) 等重序列过滤, 评估是否存在 I=L, Q[去酰胺基]=E, GG=N。

2 结果与分析

2.1 酿酒酵母漏检蛋白集中分布于低分子量区

据 UniProt 数据库记录, 酿酒酵母中有 707 个蛋白质属于漏检蛋白, 占总注释蛋白的 10.5%,

这些漏检蛋白主要分布在低分子量区(图1A)。酿酒酵母中小蛋白质数为509个,其中漏检蛋白所占比例接近30%(图1B)。除此之外,人、结核分枝杆菌、拟南芥中漏检蛋白在小蛋白质中比例相仿,这些漏检蛋白分布特征暗示我们可以通过小蛋白质特殊富集策略来挖掘漏检蛋白。因此我们采用12%Tricine-SDS-PAGE来分离、富集酿酒酵母小蛋白质。

2.2 富集法鉴定72个小蛋白质

我们共鉴定到697个蛋白质(1960个唯一肽段),其中小蛋白质72个,占酵母已注释PE1小蛋白质的35%,其中47个蛋白鉴定到两条及两条以上唯一肽段(表1)。小蛋白质鉴定数据集中最大类群属于核糖体蛋白家族,共鉴定到15个亚基。其中40S鉴定小蛋白数占该类群注释小蛋白的70%,60S鉴定小蛋白占该类群注释小蛋白的54.5%。小蛋白质鉴定数据集中还鉴定到其他类群蛋白,如细胞色素家族、转运蛋白、ATP合成酶亚基家族、U6 snRNA相关蛋白等。

2.3 鉴定小蛋白质特征

相对高分子量:已鉴定小蛋白质长度主要在61–100 AA间(图2A)。尽管已注释小蛋白质中1–60 AA蛋白数最多,但实际鉴定数最少,这反映了即使在使用小蛋白质鉴定技术的条件下依然存在着向更长蛋白的偏倚。

高比例亲水性蛋白:与已注释小蛋白质相比,72个鉴定小蛋白质中疏水蛋白比例要低很多,尤其在1–60 AA蛋白类群中疏水比例差别最大(图2B)。总已注释小蛋白质中,疏水蛋白占43%,1–60 AA中疏水蛋白比例高达52.8%。然而,在我们鉴定小蛋白质中,亲水蛋白占主体,比例高达82%。短的相对于长的蛋白的更强疏水倾向特性是造成小蛋白质鉴定向更长蛋白偏倚的一个重要原因。

细胞分布差异不显著:亚细胞定位分析(图2C)显示,鉴定小蛋白质主要定位在细胞膜和细胞质,且二者蛋白数目几乎相当。而已注释小蛋白质中绝大多数都定位在细胞膜,与前面描述的高疏水性特征相一致。传统的蛋白提取通常以完整细胞为研究对象,针对膜蛋白的提取策略可能会提高小蛋白质覆盖度。

弱密码子使用偏性:密码子适应指数(Codon adaptation index, CAI)反映编码区同义密码子与密码子最佳使用相符合的程度,取值范围在0–1之间。CAI值越高表明更强密码子使用偏性和更高表达水平^[15]。已注释小蛋白质编码基因的CAI值在整体上最低(图2D),表明小蛋白质的表达水平可能要低于蛋白质组整体表达水平。鉴定小蛋白质比已注释小蛋白质对应基因的CAI值要高,意味着我们鉴定到的小蛋白质是已注释小蛋白质中相对高表达的部分。密码子使用偏性被普

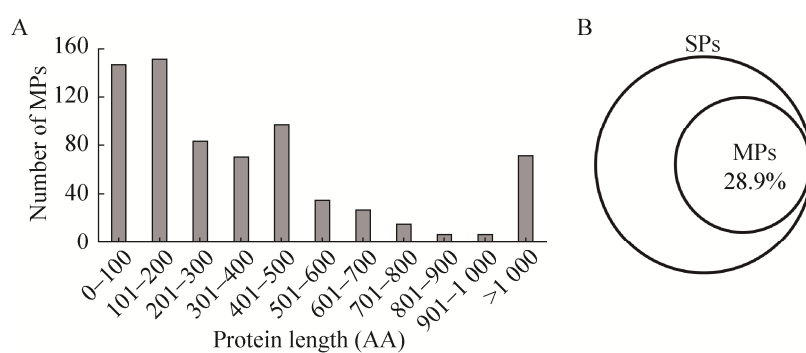


图1 酿酒酵母漏检蛋白分布特征

Fig. 1 The distribution characteristics of MPs from *S. cerevisiae*. (A) The MPs distribution among different protein length ranges. (B) The proportion of MPs in total annotated SPs.

遍认为受蛋白编码基因长度的影响，在大肠杆菌等细胞中，密码子使用偏性与蛋白编码基因长度呈显著正相关。Eyre-Walker 猜测这是由于进化产生的选

择压力以避免翻译过程中错误的引入^[16]。基于酵母小蛋白质整体弱密码子使用偏性的特征优化其表达条件可能会促进小蛋白质的表达和鉴定。

表 1 富集法鉴定到 72 个小蛋白质

Table 1 The 72 SPs identified by enrichment strategy

Protein	Function	Unique peptide	Length (AA)	Protein existence
POC0V8	40S ribosomal protein S21-A	1	87	PE1
Q3E754	40S ribosomal protein S21-B	1	87	PE1
Q3E7X9	40S ribosomal protein S28-A	1	67	PE1
P41057	40S ribosomal protein S29-A	7	56	PE1
P41058	40S ribosomal protein S29-B	6	56	PE1
P0CX33	40S ribosomal protein S30-A	5	63	PE1
P0CX34	40S ribosomal protein S30-B	5	63	PE1
O14464	54S ribosomal protein RTC6	2	93	PE1
P05747	60S ribosomal protein L29	2	59	PE1
P05745	60S ribosomal protein L36-A	2	100	PE1
O14455	60S ribosomal protein L36-B	2	100	PE1
P49167	60S ribosomal protein L38	6	78	PE1
P04650	60S ribosomal protein L39	2	51	PE1
P0CX25	60S ribosomal protein L43-A	9	92	PE1
P0CX26	60S ribosomal protein L43-B	9	92	PE1
P31787	Acyl-CoA-binding protein	10	87	PE1
P21306	ATP synthase subunit epsilon	6	62	PE1
P81450	ATP synthase subunit J	3	59	PE1
P81451	ATP synthase subunit K	4	68	PE1
P0l098	ATPase-stabilizing factor	1	86	PE1
P37299	Cytochrome b-cl complex subunit 10	4	77	PE1
P22289	Cytochrome b-cl complex subunit 9	1	66	PE1
P04039	Cytochrome c oxidase polypeptide VIII	1	78	PE1
P10174	Cytochrome c oxidase subunit 7	1	60	PE1
P07255	Cytochrome c oxidase subunit 7A	3	59	PE1
P69850	DASH complex subunit DAD3	1	94	PE1
P69852	DASH complex subunit HSK3	1	69	PE1
P40422	RNA polymerases subunit RP ABC4	3	70	PE1
P22139	RNA polymerases subunit RP ABC5	3	70	PE1
Q92316	Glycosyltransferase subunit OST5	1	86	PE1
Q3E833	EKC/KEOPS complex subunit PCCI	3	88	PE1
Q6Q547	H/ACA ribonucleoprotein complex subunit 3	5	58	PE1

待续

续表 1

Q9URQ5	High temperature lethal protein 1	2	78	PE1
P38636	Metal homeostasis factor ATX1	4	73	PE1
Q3E835	MHF histone-fold complex subunit 1	1	90	PE1
Q3E829	MHF histone-fold complex subunit 2	4	80	PE1
Q96VH5	MICOS complex subunit MIC10	1	97	PE1
P80967	Mitochondrial import receptor subunit TOM5	2	50	PE1
P53507	Mitochondrial import receptor subunit TOM7	2	60	PE1
P23059	N-alpha-acetyltransferase 38, NatC auxiliary subunit	2	88	PE1
Q03919	NEDD8-like protein RUB1	2	77	PE1
Q02820	Non-classical export protein 1	2	53	PE3
PI1633	Non-histone chromosomal protein 6B	1	99	PE1
P0CT04	Protease B inhibitor 2	4	75	PE1
Q6Q560	Protein ISD11	5	94	PE1
Q8TGJ3	Protein kish	1	72	PE3
P56508	Protein SNA2	1	79	PE1
P35179	Protein transport protein SSS1	1	80	PE1
Q3E834	Protein transport protein YOS1	2	85	PE1
Q3E762	Putative uncharacterized protein YBR230W-A	3	66	PE4
Q3E7C1	RNA polymerase II transcription factor B subunit 5	3	72	PE1
Q3E784	SCOCO-like protein 1	1	85	PE1
Q3E790	Serine palmitoyltransferase-regulating protein TSC3	1	80	PE1
P40204	Small nuclear ribonucleoprotein G	2	77	PE1
Q6WNK7	Transcription and mRNA export factor SUS1	7	96	PE1
Q3E764	Translation machinery-associated protein 7	3	64	PE1
P57743	U6 snRNA-associated Sm-like protein LSm3	2	89	PE1
P40089	U6 snRNA-associated Sm-like protein LSm5	2	93	PE1
Q06406	U6 snRNA-associated Sm-like protein LSm6	6	86	PE1
Q6Q546	Ubiquitin-like modifier HUB1	1	73	PE1
043137	Uncharacterized protein YBR085C-A	7	85	PE1
Q8TGU7	Uncharacterized protein YBR126W-A	1	68	PE4
Q3E830	Uncharacterized protein YCR075W-A	2	75	PE1
Q2V2P9	Uncharacterized protein YDRI19W-A	1	66	PE4
Q2V2P4	Uncharacterized protein YIL156W-B	2	73	PE3
Q3E7A3	Uncharacterized protein YJL133C-A	9	74	PE1
Q2V2P2	Uncharacterized protein YKL065W-A	1	73	PE4
Q3E795	Uncharacterized protein YLR361C-A	1	98	PE1
Q3E7A8	Uncharacterized protein YNL162W-A	1	72	PE1
Q3E841	Uncharacterized protein YNR034W-A	6	98	PE1
A5Z2X5	UPF0495 protein YPR010C-A	2	72	PE3
Q3E7B6	V-type proton A TPase subunit e	1	73	PE1

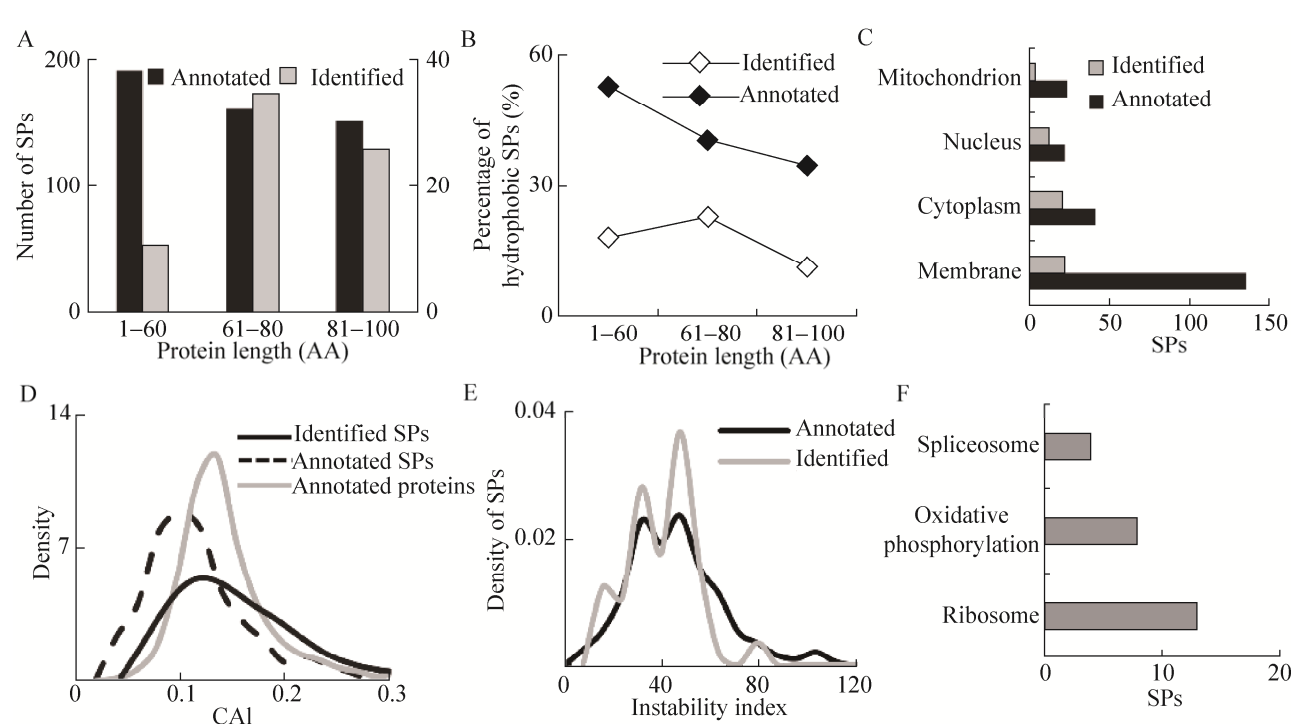


图 2 鉴定小蛋白质特征分析

Fig. 2 Analysis of identified SPs characteristics. (A) Comparison of the annotated and identified SPs in three protein length ranges. (B) The relationship between percentage of hydrophobic proteins and protein length in the total annotated and identified SPs. (C) Subcellular localization of the annotated and identified SPs. (D) The CAI distribution of the annotated proteins, annotated SPs and identified SPs. (E) The instability index distribution of the annotated and identified SPs. (F) KEGG analysis of the identified SPs.

不稳定性：蛋白质不稳定系数 (Instability index) 可用来评估蛋白质稳定性。该参数低于 40 的蛋白质被认为是稳定蛋白，而高于 40 则被认为不稳定，不稳定蛋白往往半衰期较短^[17]。我们发现一半以上的小蛋白质属于不稳定蛋白质。与已注释小蛋白质相比，鉴定小蛋白质在高稳定性蛋白区域的比例相对较低且整体呈现向中、低稳定性蛋白区域的偏倚（图 2E），这意味着不稳定性是小蛋白质的另一重要特征。

KEGG 分析（图 2F）表明已鉴定小蛋白质主要是核糖体和剪接体的组成成分，且主要参与了氧化磷酸化的细胞通路，表明这些小蛋白质在蛋白质翻译和能量代谢方面发挥重要作用。

2.4 小蛋白质富集促进漏检蛋白鉴定

在小蛋白质富集数据集中我们共鉴定到 13 个漏检蛋白，经严格谱图质量筛选后（图 3E），最终

保留了 9 个漏检蛋白，它们均仅有一条唯一肽段。验证的漏检蛋白中，包括 5 个 PE3 (Q02820、A5Z2X5、Q2V2P4、P38127、P40086) 和 4 个 PE4 (Q2V2P9、Q3E762、Q8TGU7、Q2V2P2) 蛋白质（图 3A）。可信漏检蛋白中 7 个蛋白质 (Q02820、A5Z2X5、P38127、P40086、Q2V2P9、Q8TGU7、Q8TGU7) 定位于膜上，5 个属于单跨膜漏检蛋白，2 个线粒体内在膜蛋白 (P38127 和 P40086) 多次跨膜，分别跨膜 6 次和 7 次。这提示我们可以借鉴膜蛋白富集策略进一步实现 MPs 高效鉴定。

可信漏检蛋白中，5 个漏检蛋白属于功能未知蛋白；Q02820 可能参与非经典蛋白输出通路^[18]；2 个线粒体内在膜蛋白可能参与能量转换途径^[19]，即 P38127 (Mitochondrial carrier protein RIM2) 和 P40086 (Cytochrome c oxidase assembly protein

COX15); A5Z2X5 属于 UPF0495 家族蛋白; Q2V2P4 属于功能未知蛋白, 位于IX染色体上,

由 73 AA 组成, 其中 1–22 AA 属于信号肽区, 成熟区是 23–73 AA 区。

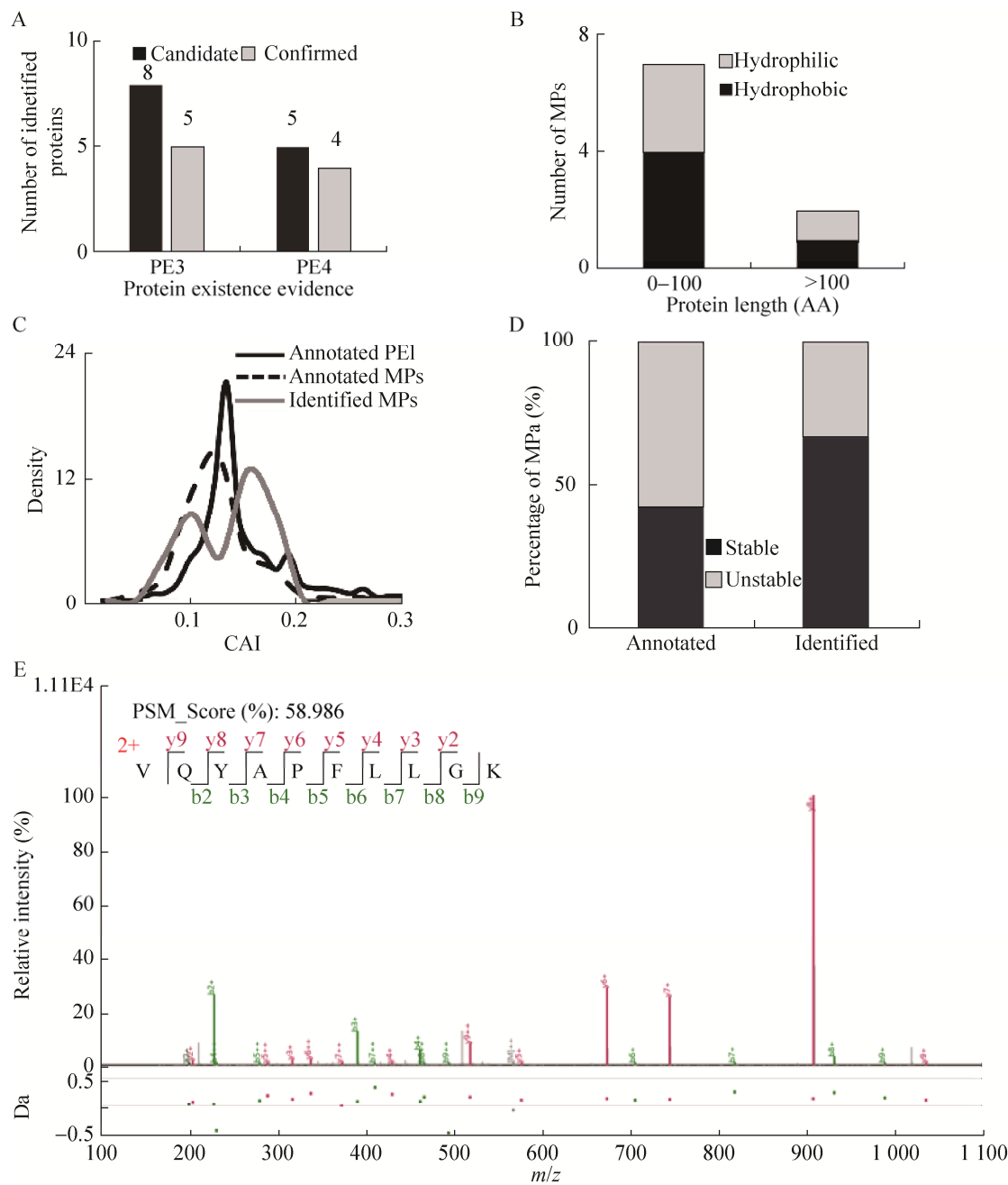


图 3 小蛋白质富集促进漏检蛋白鉴定

Fig. 3 SPs enrichment strategy benefits for MPs identification from *S. cerevisiae*. (A) PE level distribution of the candidate and confirmed MPs. (B) Protein-length distribution of identified MPs and comparison of hydrophilic and hydrophobic MPs between different protein length ranges. (C) The CAI distribution of the total annotated PE1 proteins, total annotated MPs and identified MPs. (D) Relative ratio of the stable and unstable proteins in total annotated and identified MPs. (E) The spectrum example for unique peptide from confirmed MPs (Q02820).

漏检蛋白中 78% 的蛋白质属于小蛋白质 (图 2B)，表明小蛋白质富集策略有助于挖掘漏检蛋白。鉴定漏检蛋白中一半属于亲水蛋白，疏水蛋白鉴定效率的提高可能有助于漏检蛋白的鉴定。

已注释 PE1 蛋白、已注释漏检蛋白和鉴定漏检蛋白编码基因 CAI 分布比较分析表明，已注释漏检蛋白对应基因的 CAI 在整体上要显著低于已注释 PE1 蛋白，这说明漏检蛋白的表达水平要低于 PE1 蛋白。此外，与已注释漏检蛋白相比，鉴定漏检蛋白相应基因的 CAI 在整体上向高 CAI 区偏移，这表明我们鉴定到的漏检蛋白是已注释漏检蛋白中相对高表达的部分 (图 2C)。弱密码子使用偏性可能是造成其相应蛋白难以检测的深层次原因。

已注释漏检蛋白中 57% 的蛋白属于不稳定蛋白，而在鉴定漏检蛋白中不稳定蛋白仅占 33% (图 2D)。这说明高比例不稳定蛋白是漏检蛋白整体的一个重要特征，其可能不利于漏检蛋白的鉴定。提高蛋白稳定性的方法可能有助于进一步鉴定漏检蛋白。

3 讨论

尽管成千上万蛋白质的结构与功能已被系统研究，小蛋白质的生物学研究却被极大地忽视了。这主要是由于小蛋白质的高效鉴定是蛋白质组学领域的技术难题。我们通过富集策略鉴定到 72 个小蛋白质，占酵母已注释 PE1 小蛋白质的 35%，并成功验证了 9 个漏检蛋白。一些难检测的小蛋白质和漏检蛋白往往具有类似特征，如低分子量、低丰度、强疏水性、膜结合、弱密码子使用偏性以及蛋白不稳定性等。这些典型的特征暗示我们后续可在以下几方面进行优化：1) 表达条件的优化^[20]；2) 蛋白质半衰期的延长；3) 基于亚细胞定位的提取策略(如膜蛋白质)；4) 消化策略的改进 (针对疏水蛋白的多酶组合、化学切割^[21]、消

化条件^[22]以及自上而下蛋白质组学策略^[23])。随着对小蛋白质特性的深入理解、样品制备技术的改进以及质谱技术的发展，有望实现小蛋白质的深度覆盖，这将为其功能探究奠定技术支撑。

REFERENCES

- Zanet J, Benrabah E, Li T, et al. Pri sORF peptides induce selective proteasome-mediated protein processing. *Science*, 2015, 349(6254): 1356–1358.
- Costa LM, Marshall E, Tesfaye M, et al. Central cell-derived peptides regulate early embryo patterning in flowering plants. *Science*, 2014, 344(6180): 168–172.
- Cabrera-Quio LE, Herberg S, Pauli A. Decoding sORF translation—from small proteins to gene regulation. *RNA Biol*, 2016, 13(11): 1051–1059.
- UniProt Consortium. The universal protein resource (UniProt). *Nucleic Acids Res*, 2007, 35(D1): D193–D197.
- Archakov A, Zgoda V, Kopylov A, et al. Chromosome-centric approach to overcoming bottlenecks in the Human Proteome Project. *Exp Rev Proteom*, 2012, 9(6): 667–676.
- Huh WK, Falvo JV, Gerke LC, et al. Global analysis of protein localization in budding yeast. *Nature*, 2003, 425(6959): 686–691.
- Ghaemmaghami S, Huh WK, Bower K, et al. Global analysis of protein expression in yeast. *Nature*, 2003, 425(6959): 737–741.
- Sun YH, de Jong MF, den Hartigh AB, et al. The small protein CydX is required for function of cytochrome bd oxidase in *Brucella abortus*. *Front Cell Infect Microbiol*, 2012, 2: 47.
- Ma J, Diedrich JK, Jungreis I, et al. Improved identification and analysis of small open reading frame encoded polypeptides. *Anal Chem*, 2016, 88(7): 3967–3975.
- Xu P, Duong DM, Seyfried NT, et al. Quantitative proteomics reveals the function of unconventional ubiquitin chains in proteasomal degradation. *Cell*, 2009, 137(1): 133–145.
- Wu FL, Zhao MZ, Zhang Y, et al. Recombinant

- acetylated trypsin demonstrates superior stability and higher activity than commercial products in quantitative proteomics studies. *Rapid Commun Mass Spectrom*, 2016, 30(8): 1059–1066.
- [12] Zhao MZ, Wu FL, Xu P. Development of a rapid high-efficiency scalable process for acetylated Sus scrofa cationic trypsin production from *Escherichia coli* inclusion bodies. *Prot Exp Purificat*, 2015, 116: 120–126.
- [13] Zhai LJ, Chang C, Li N, et al. Systematic research on the pretreatment of peptides for quantitative proteomics using a C₁₈ microcolumn. *Proteomics*, 2013, 13(15): 2229–2237.
- [14] Xu P, Duong DM, Peng JM. Systematical optimization of reverse-phase chromatography for shotgun proteomics. *J Prot Res*, 2009, 8(8): 3944–3950.
- [15] Sharp PM, Li WH. The codon Adaptation Index—a measure of directional synonymous codon usage bias, and its potential applications. *Nucleic Acids Res*, 1987, 15(3): 1281–1295.
- [16] Eyre-Walker A. Synonymous codon bias is related to gene length in *Escherichia coli*: selection for translational accuracy? *Mol Biol Evolut*, 1996, 13(6): 864–872.
- [17] Wilkins MR, Gasteiger E, Bairoch A, et al. Protein identification and analysis tools in the ExPASy server//Link AJ, ed. 2-D Proteome Analysis Protocols. Totowa: Humana Press, 1999, 112: 531–552.
- [18] Cleves AE, Cooper DN, Barondes SH, et al. A new pathway for protein export in *Saccharomyces cerevisiae*. *J Cell Biol*, 1996, 133(5): 1017–1026.
- [19] Barros MH, Carlson CG, Glerum DM, et al. Involvement of mitochondrial ferredoxin and Cox15p in hydroxylation of heme O. *FEBS Lett*, 2001, 492(1/2): 133–138.
- [20] Quax TE, Claassens NJ, Söll D, et al. Codon bias as a means to fine-tune gene expression. *Mol Cell*, 2015, 59(2): 149–161.
- [21] Fischer F, Poetsch A. Protein cleavage strategies for an improved analysis of the membrane proteome. *Proteome Sci*, 2006, 4: 2.
- [22] Min L, Choe LH, Lee KH. Improved protease digestion conditions for membrane protein detection. *Electrophoresis*, 2015, 36(15): 1690–1698.
- [23] Moradian A, Kalli A, Sweredoski MJ, et al. The top-down, middle-down, and bottom-up mass spectrometry approaches for characterization of histone variants and their post-translational modifications. *Proteomics*, 2014, 14(4/5): 489–497.

(本文责编 郝丽芳)